

非線形格子における波の伝播

法政大 教養 玄 因 一

§ 1. 序

非線形格子における波の伝播の問題は物理学において多くの意味ある対象であるが、その一つは熱伝導の問題である。Visscherら¹⁾は質量、異なった不純物粒子を含む無秩序格子(disordered lattice)における非線形相互作用をも、その熱伝導係数を計算し実験から求めることを試みた。彼らは中心力と非中心力でつながれた2次元格子(10×50)で、各隣接粒子間に

$$V(x) = \frac{1}{2}x^2 - \frac{1}{3}\mu x^3 + \frac{1}{4}\nu x^4$$

のホテンシヤルをもつていて、 $\mu = \nu = 0.0$ の調和振動子の場合と $\mu = 0.35$, $\nu = 0.069$ の非調和振動子の場合についての熱伝導を計算している。実験の結果は予測に反して一般的に無秩序格子における非調和はホテンシヤルを含む場合の方が対応する調和振動子の場合よりも熱伝導が大きくなつた。理論では非調和項はエネルギー伝播に対する抵抗を与える。

熱伝導を小さくするとき考へられる。このことは Kiescher の実験の説明及び熱伝導の計算棟ミニミレーショーンの基礎としても、と单纯なモデルにつれての計算棟実験を行ふ。非線形格子に及ぼす波の伝播の様子及び不純物粒子の影響を調べる。

2. 非線形格子に及ぼす局在振動

ホーリー・シャルル

$$V(x) = \frac{1}{2}x^2 - \frac{1}{3}\mu x^3$$

4

$$V(x) = \frac{1}{2}x^2 + \frac{1}{4}\mu x^4$$

で与えられる様な3次、4次の非調和項を含む各々の場合に調和振動のときの局在振動に対する影響を調べた。一次元格子を中心の復量の裏には、一組の不純物を含む場合に、初期条件として $t=0$ で不純物粒子を変位させ、他の粒子は静止してしまった。波の伝播をしたがる。この様なときには調和振動子系では不純物粒子か他の粒子より軽い場合には、その粒子のまわりに局在振動を生じ、エネルギーが遠くへはせんばり伝播しない。この性質は4次のホーリー・シャルルを含むときよりもより強められ、この場合には不純物粒子の復量か他の粒子の差（= ときにも局在振動がみられる）。これが文

3 次のボテンシャルのときには局在振動が弱められ、可成りのエネルギー - wave packet の形で安定に遠く伝送される。これら 3 のことは上記で与えられるような条件では、4 次の場合には不純物粒子・質量を軽くする同じような効果を与え、3 次の場合には重くする効果を与えてくる。3 次のボテンシャルの場合の 2 の変位及 wave packet の挙動を次節に図示する。

23. Wave packet の時間挙動

両端が固定された一次元格子で 3 次のボテンシャル ($\mu = 0.4$) のときの波の伝播の様子及びそのときの 2 つの wave packet の軌跡を調べた。Fig. 1 は粒子数 $N = 90 \sim 30$ 番目の格子質量粒子（質量比 2）を用い、 $t = 0$ における粒子の変位を与えた場合であり、(a) は時間に対する各粒子の変位の様子が示されてくる。質量粒子の如き減衰した変位の左右の大まかな wave packet の形、伝播によって、これは調和振動の場合にも同様であるが、このときには wave packet の高さが次第に減衰してゆくのと反して、非線形格子では可成り安定な挙動を示す。(b) は $a \rightarrow a$ wave packet の最大値の位置。時間に対する軌跡が示されている。一定の速度で格子中を運動し、両端との反射、 $a \rightarrow a$ packet の衝突

、重い粒子との衝突などで安定な「粒子的振舞」となり、soliton 似た運動をする。Fig. 2 は代りに軽い粒子（質量比 0.5）を置いた時で、この場合には軽い粒子のまわりに局在振動が生じるが、3D の工干涉干渉図と同様 wave packet が左右へ運ばれ、両端で反射して後は局在振動の如きも安定に通じ抜けの如く消える。Fig. 3 は $N = 71$ の homogeneous 粒子の wave packet の形の時間変化及び軌跡を示す。まわりの小工干涉振動数の波紋、2 次元 wave packet の形がそれまでと、その最大値の度数が一定ではなくて一定の速度の運動をしている。実線は一定速度運動の軌跡であり、長線が大体最大値の位置で結ぶものである。僅かに差があるが、これらの詳細は 2 次 wave packet の定性とともに更に検討を要するところである。以上の結果は Visscher りによると、2 次電子の種類（非調和項）によって工干涉干渉の増加する理由と 1 つは調和振動子系のためには軽い質量の粒子。2 つ目は局在化や高い振動数のモノトロニクス調和項。そのため工干涉干渉が運びやすくなる。低振動数のモノトロニクスの不純物では余り影響はない。wave packet の中と同程度の impurity island のそれは影響を及ぼすと思われる。

3.

4. 今後の問題と今

以上で 4 点をより非線形格子における熱伝導には soliton like の峠部を示す wave packet の重要な役割は既に述べたが、無秩序格子における熱伝導をミニマムトヨタの研究ではこれら wave packet の安定性、impurity island の大きさとの影響について更に調べる必要がある。非調和格子における低振動数のモードの峠部については

²⁾ Fermi の実験以来多く議論されてきたところがあり、³⁾ ⁴⁾ 1) 毎帰現象と chirikov's 及び ⁴⁾ 2) より非線形項の大王 (大王は振幅の大きさ) には運動が random になり熱平衡に接近する結果となる結果には未だ問題が残されている。⁵⁾ ⁶⁾ gap は一つには各々の実験条件により異なる格子振動子系の程度まで KdV 方程式の soliton の運動で記述出来るかにあらずと思ふ。格子振動子系で初期条件の非線形項 (例えば振幅) を大王 $\ll 1$ とするは KdV 方程式

$$u_t + uu_x + \beta u_{xxx} = 0$$

⁵⁾ β が小さくすればそれが対応する。Karpman's ⁶⁾ は 1) で初期条件に対する β が小さく $\ll 1$ の場合に β が ~ 1 の soliton

を示す。Fermi 3 の場合は 912。
 soliton の中から 3 種類と見てあり、もとを大半は非線形
 で、それから主には次第に多くなる。soliton の中から、
 たゞ $\epsilon = 3$ では格子系では完全な soliton がつかれてしまう現
 態は実現するが、 $\epsilon = 3$ が生じ、これ以上では random な
 振動を示すと見らる。このことは準 β KdV 方程式の
 $\beta \rightarrow 0$ のときもシヨツクが生じる $\epsilon = 3$ に対する
 ものと思われる。この 3 の表は非線形格子の熱伝導
 における低周波数のモードの life time の関連とともに現在
 検討中である。

文献

- 1) D. N. Payton, III, M. Rich and W. M. Visscher; Phys. Rev. 160 (1967) 706.
- 2) E. Fermi, J. R. Pasta and S. Ulam; Los Alamos Report No. 1940 (1955).
- 3) F. M. Izrailev and B. V. Chirikov; Soviet Physics - Doklady 11 (1966) 30.
- 4) N. Ooyama, H. Hirooka and N. Saito; J. Phys. Soc. Japan 27
 (1969) 815
- 5) Yu. A. Bergin and V. I. Karpman; Soviet Physics JETP 28
 (1969) 1029.

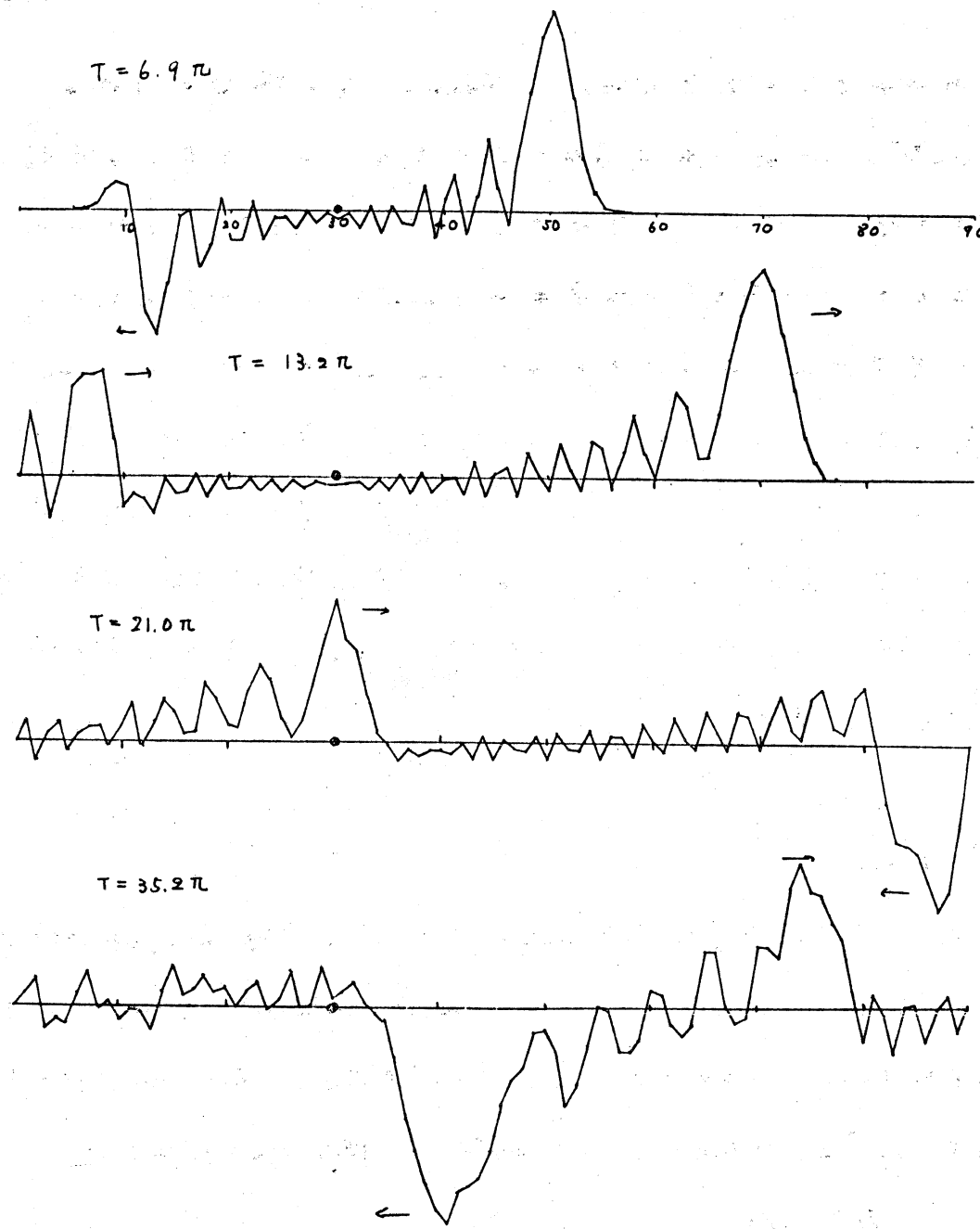


Fig. 1 a, $T = 0 \sim 30$ 目。位置・重・粒子(質量 2)・変位 ψ と、離 $1 = 6.9\pi$
波の伝播、縦軸は変位、横軸は格子位置を表す ($N = 90, \lambda = 0.4$)

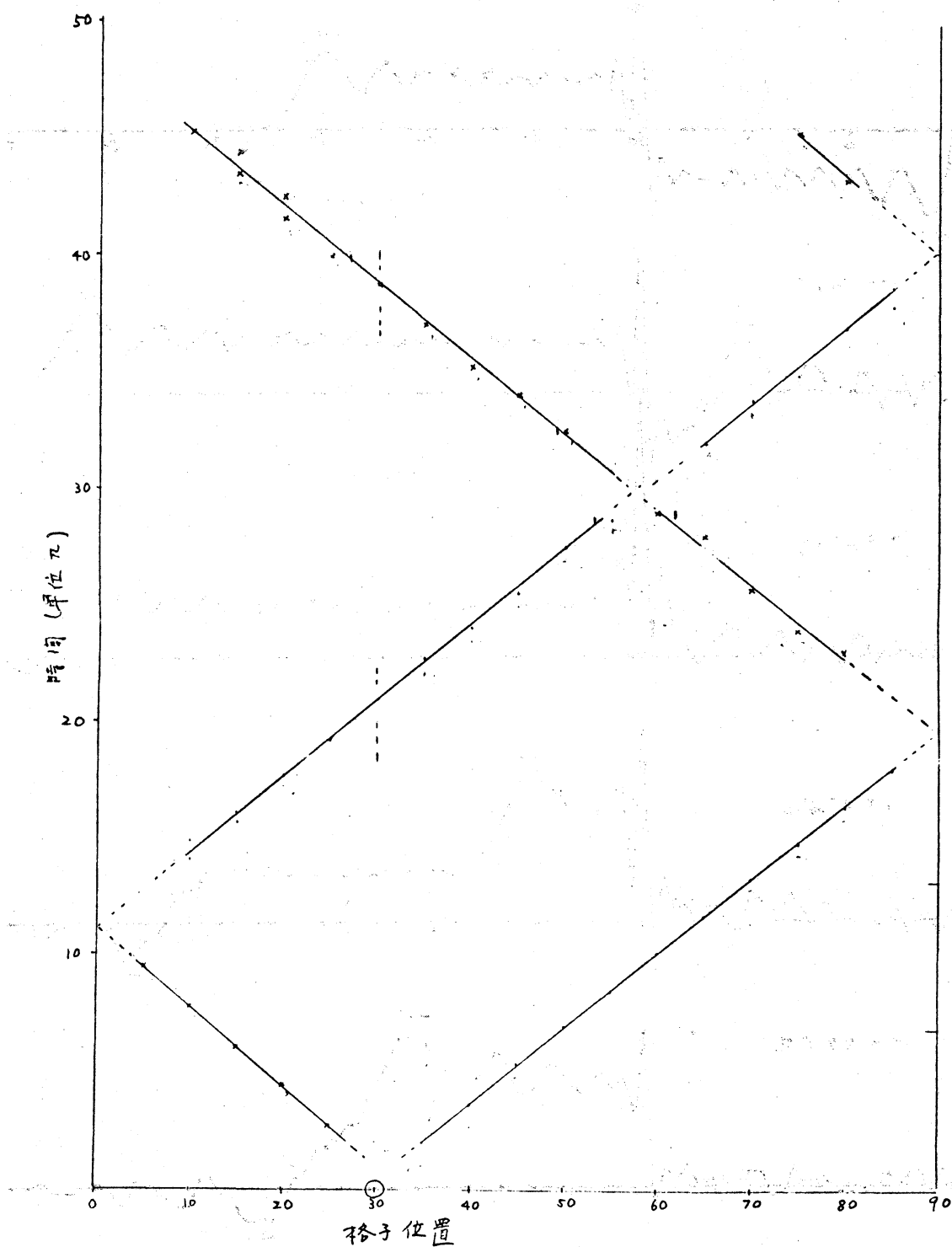
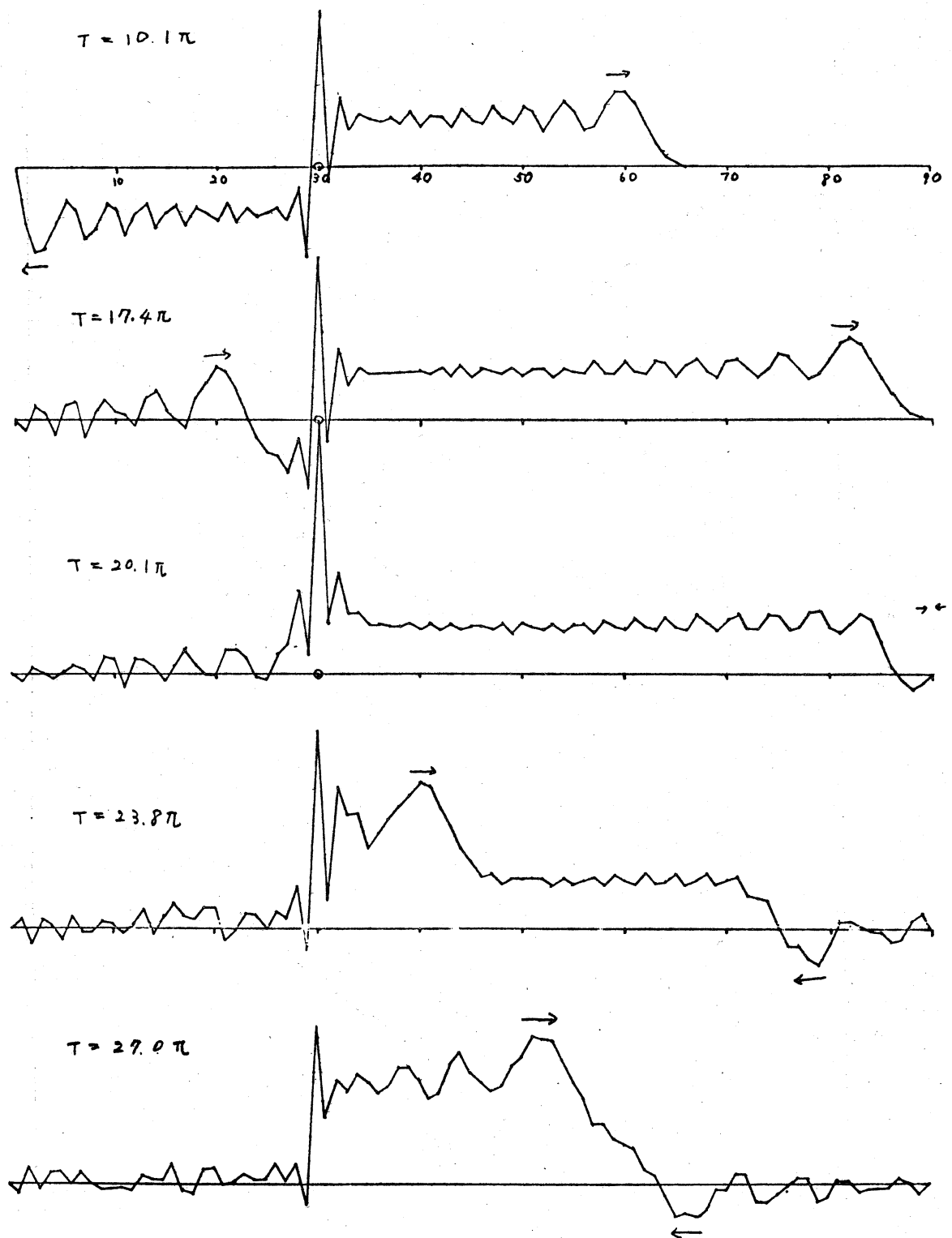


Fig. 1b , Fig 1a is Fig 3 2 in Wave Packet の最大値の格子点軌跡.



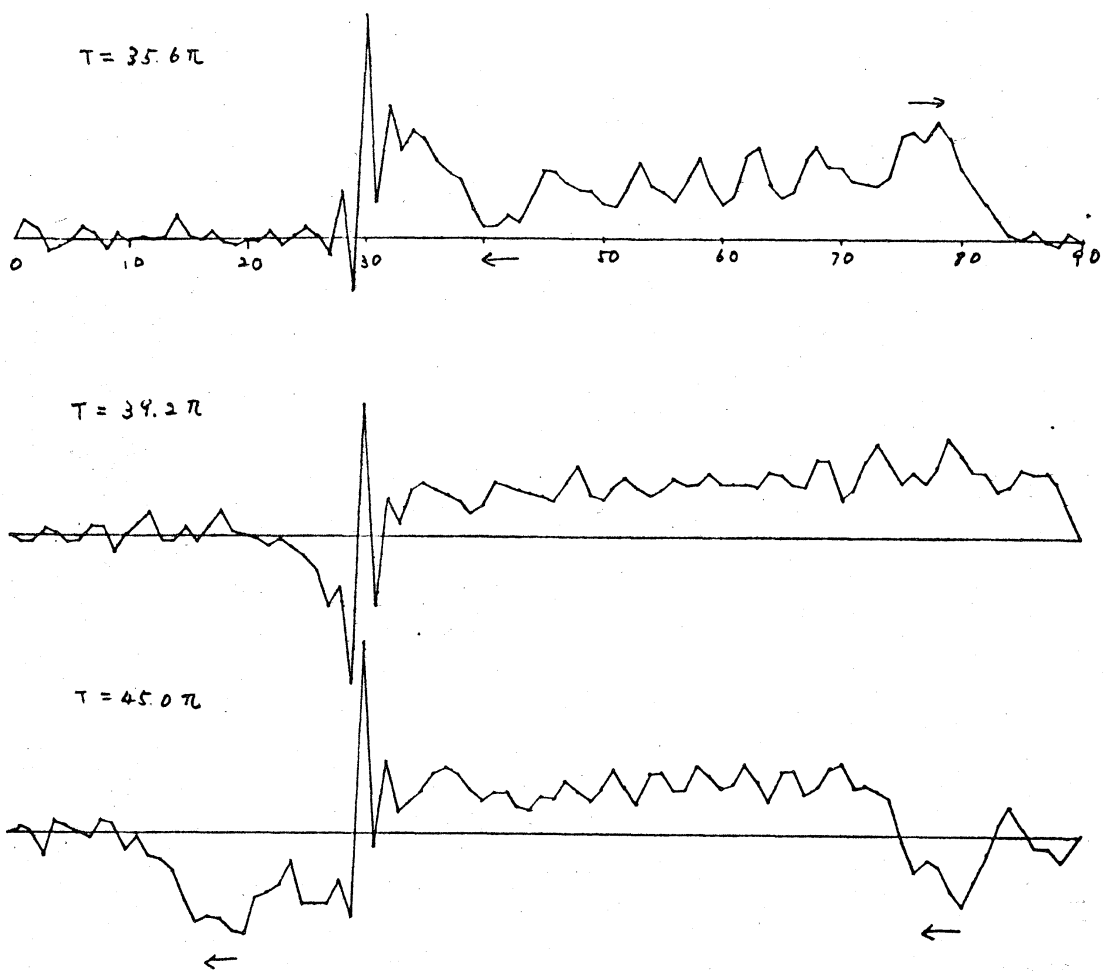


Fig 2a, $T=0 \sim 30$ 頃の位置の輕粒子(質量 0.5)の変位と之
離(右上王の波の伝播、従軸は変位、横軸は格子位置を表す)
($N=90, \lambda=0.4$)

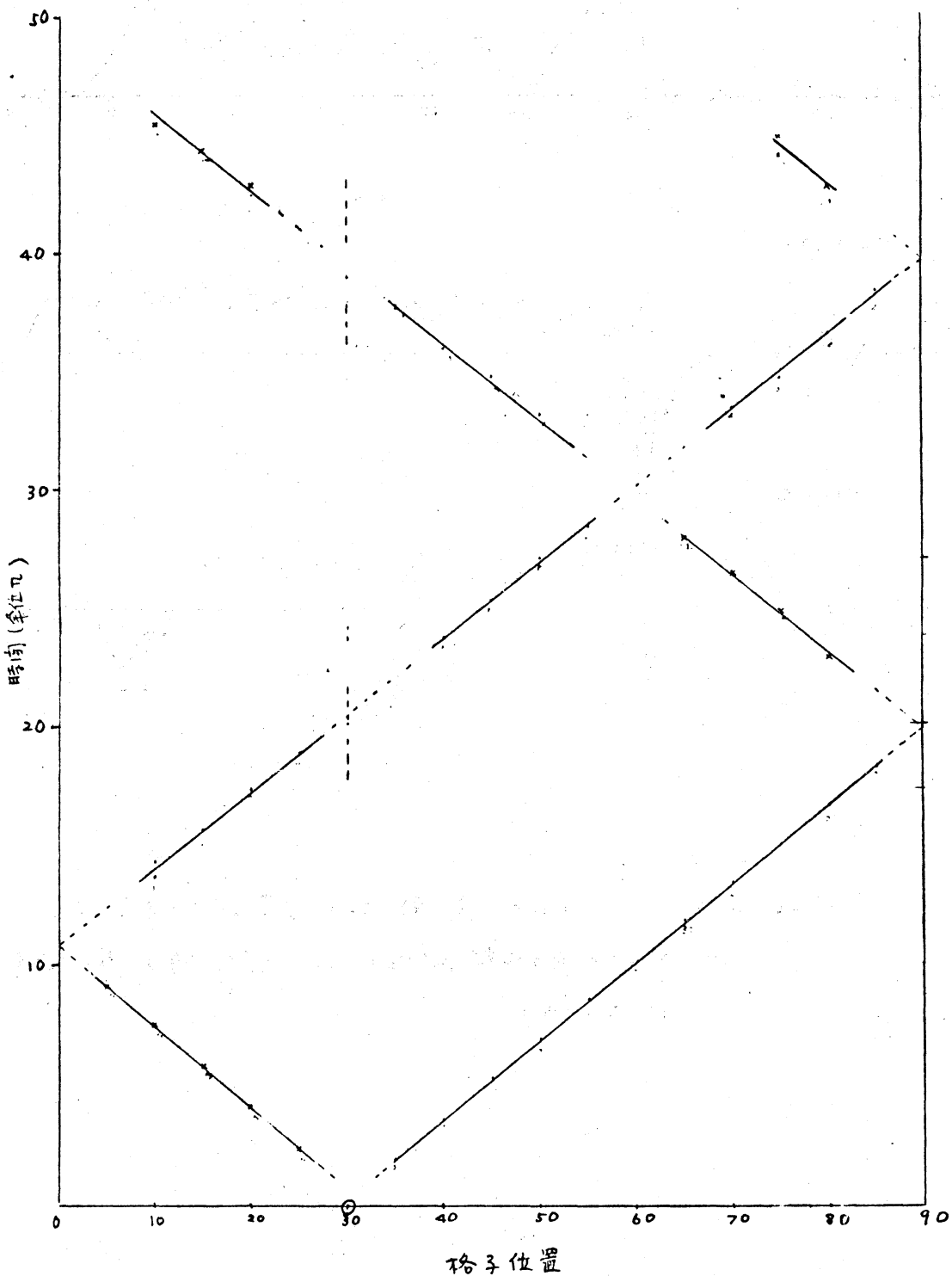
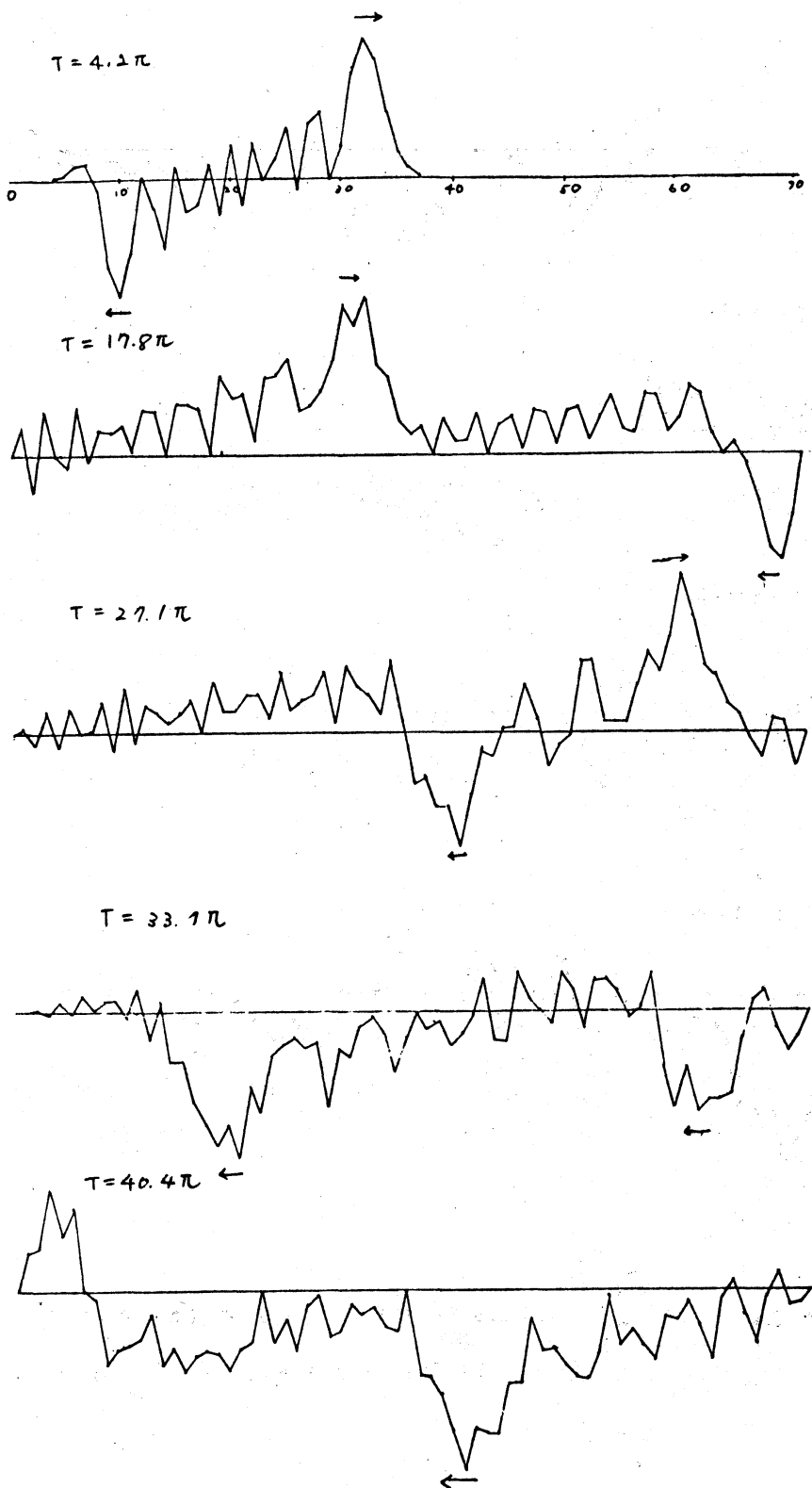


Fig. 2b, Fig. 2a と Fig. 2c は、Wave packet の最大値の格子点分布。



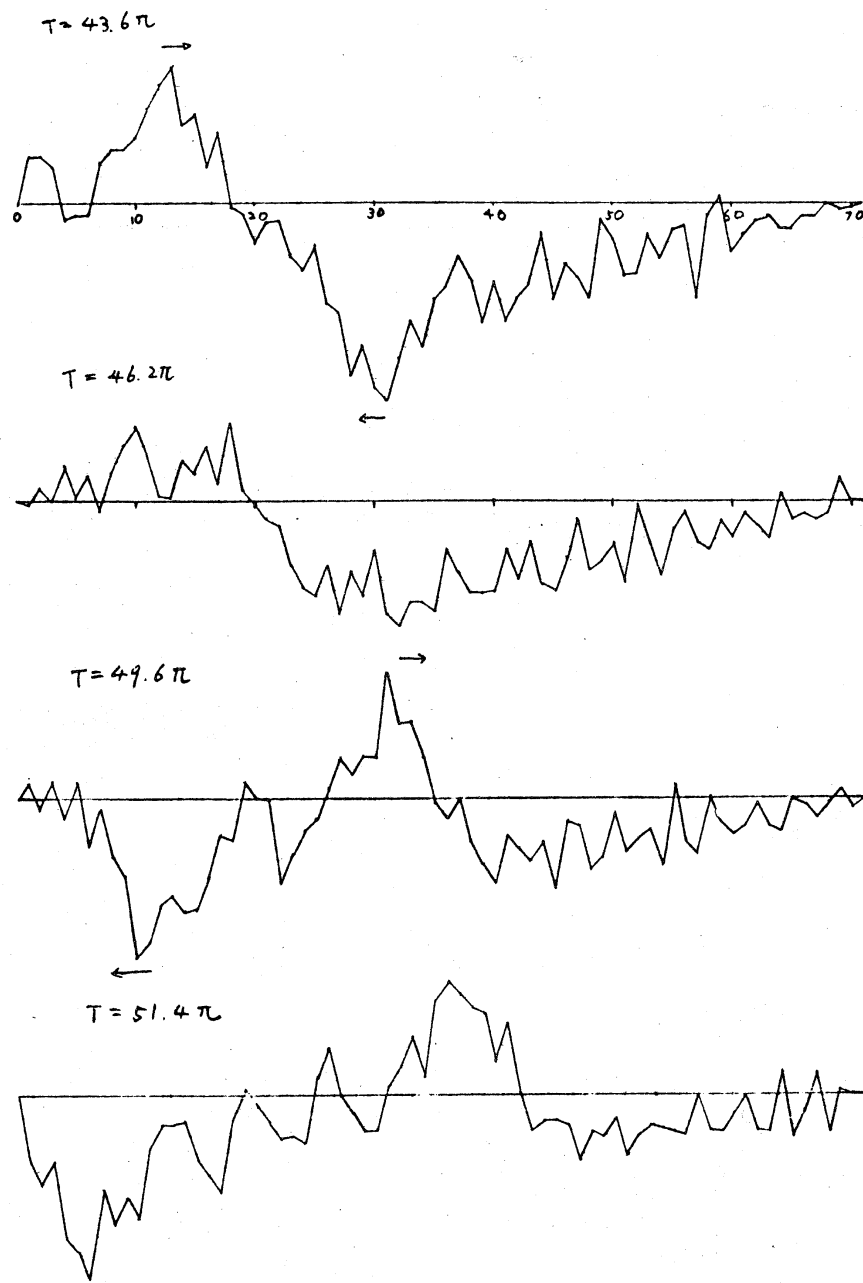


Fig. 3a, homogeneous T 时 $t=0 \sim 20$ 頃の位進
の粒子の変位 E 与え離達したときの波の伝播 ($N=71$,
 $\lambda = 0.4$)

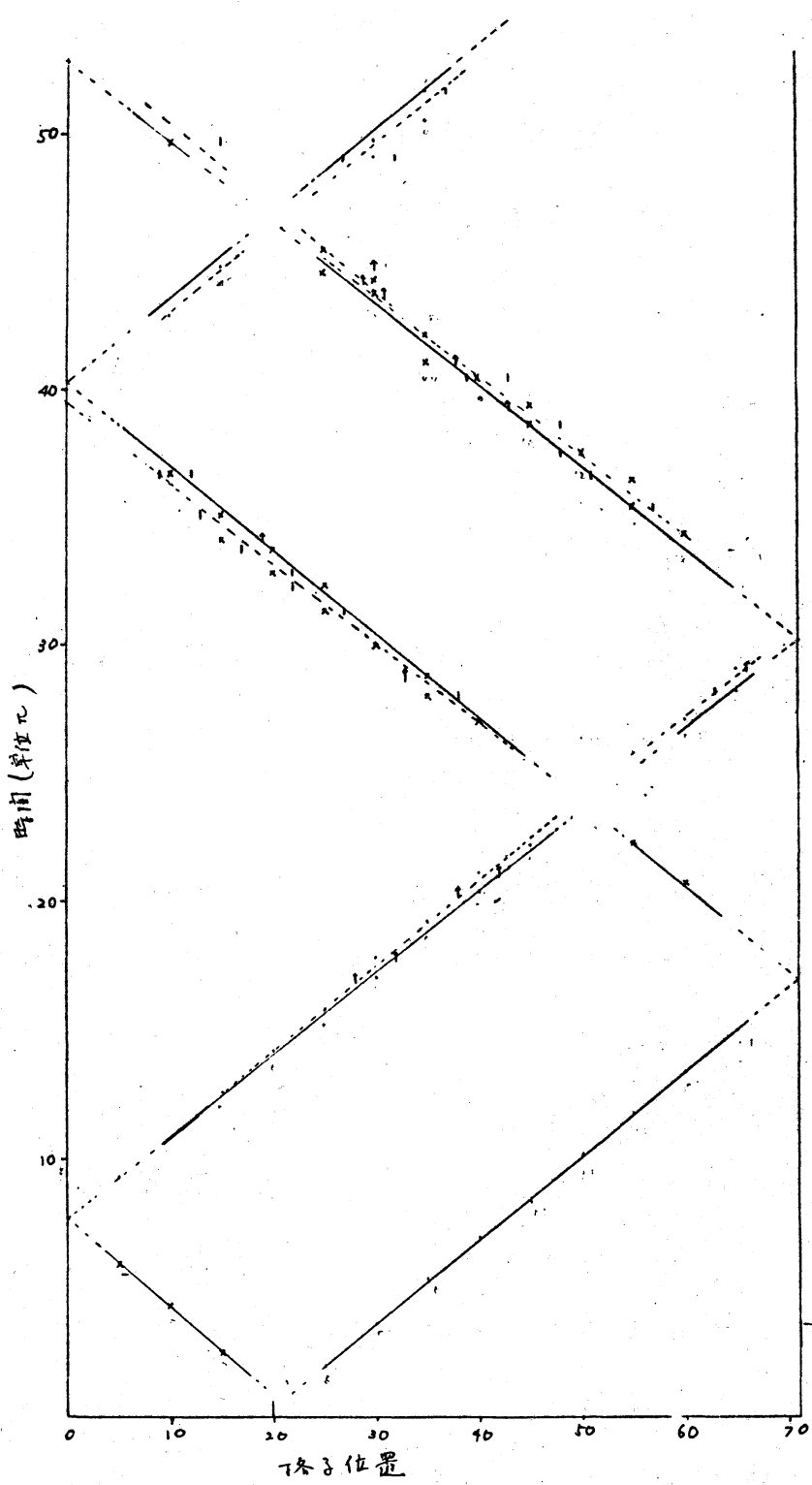


Fig. 3 b, 'Fig 3 a の 2 番 wave packet の 最大値の 位置の 軌跡。
(実線), 実線は一定の速度で運動する粒子の 軌跡。